

## 球面すべり支承で支持された屋根型円筒ラチスシェルの地震応答評価

### SEISMIC RESPONSE EVALUATION OF CYLINDRICAL LATTICE SHELL ROOFS SUPPORTED BY SPHERICAL SLIDING BEARINGS

竹内 徹<sup>\*1</sup>, 宮崎 崇<sup>\*2</sup>, 小河 利行<sup>\*3</sup>

Toru TAKEUCHI, Takashi MIYAZAKI and Toshiyuki OGAWA

To reduce the seismic response of latticed shell roofs, introducing seismic isolation bearings are known to be effective. Although easy response evaluation methods are proposed, they are limited to the condition that the elastic stiffness of isolated layer is much larger than the supporting substructure or the weight of substructure is relatively light. In this paper, easy seismic response evaluation methods for cylindrical lattice shell roofs are researched including longitudinal directions, and then those for seismically isolated roof structures are proposed including the condition that the weight of substructure is heavier. SSB (Spherical Sliding Bearings) are assumed for isolated bearings, and two different analytical models are compared for evaluating the response.

**Keywords :** Cylindrical Lattice Shell, Seismic Isolation, Equivalent Linear Method,

Response Evaluation, Response Spectrum Analysis,

円筒ラチスシェル, 免震, 等価線形化法, 地震応答評価, 応答スペクトル法

#### 1. 序

学校体育館や公共ホールは震災時に地域の避難拠点となることが期待されているが、比較的新しい建物においても地震被害事例が続いていることから、改善が望まれる。被害例のうち屋根トラスの座屈や懸垂物の落下、支承部の破壊は空間構造特有の応答特性に依存することが指摘されており、設計時の配慮が必要となる。特にライズのあるラチス屋根構造では水平地震入力に対し鉛直応答が励起されることが知られており、各種の簡便な応答評価手法が提案されている<sup>1)</sup>ものの実際の設計にはまだ取り入れられていない場合が多い。

一方、空港ターミナル等、大規模な空間構造では屋根部の応答の励起を回避するため、免震・制振構造の導入が進んでいる。特に屋根支承への免震支承の導入は屋根部の水平応答増幅を抑えるとともに鉛直応答や温度応力を殆ど解消することが可能となるため、中国、トルコ等の地震国で導入例が増加している<sup>2)</sup>。これらの事例では屋根構造の重量が軽いため、重量と無関係に固有周期を設定可能な球面滑り支承(Friction Pendulum Bearings, FPB, または Spherical Sliding Bearings, SSB)が用いられる例が多い。

学校体育館で多用される円筒シェル形、山形ラチス屋根の地震応答評価については、文献3)~7)を通じて単純な3質点アーチモデルを用いてライズと水平・鉛直応答特性との関係が説明され、下部構造の剛性に応じた屋根部の応答増幅率が屋根部と下部の固有周期比の関数として与えられている。また、下部構造重量が大きい領域で

の下部構造による屋根部共振時の応答増幅特性がパラメトリックスタディにより同定された近似式として与えられている<sup>8)</sup>。しかしながら平行方向の地震入力に対する応答は詳細に検討されておらず、屋根共振時の増幅のメカニズムも数値的には説明されていない。

一方、ラチスシェル屋根に免震支承を挿入した場合の応答評価に関しては文献9)において免震球形ラチスドームについて検討され、屋根部を剛体とした等価1質点系に対する免震層の初期固有周期比 $\beta > 5$ 、または屋根に対する下部構造の質量比 $R_M < 1.2$ の範囲においては下部構造の影響を無視し、免震部を下部構造と読み替えて既往の屋根応答評価手法が利用できることが示されている。しかしながら、摩擦滑り系のSSBを用いた場合には初期剛性が高く、下部構造がRC構造のように重量の大きい場合には上記の条件を満足することができない。

そこで、本研究ではまず下部支持構造付き円筒ラチスシェル屋根構造について、平行構造を含めた屋根応答のメカニズムを分析し、下部構造による屋根部共振時の応答増幅率の再評価を含めた応答評価手法の同定を行う。その上で同屋根形式に免震支承、特にSSBを挿入した場合の屋根部の簡便な応答評価手法を下部構造の影響が無視できない範囲を含めて導出し、その評価精度を検証する。SSB免震支承のモデル化に関してはMultiple Shear Spring Model (MSSモデル)<sup>10)</sup>と文献11)で提案したFPモデルを比較し、これらの違いが屋根部応答に与える影響についても検証する。

\*<sup>1</sup> 東京工業大学建築学系 教授・博士(工学)

\*<sup>2</sup> 元 東京工業大学建築学専攻 大学院生・修士(工学)

\*<sup>3</sup> 東京工業大学 名誉教授・工博

Prof. Dept. Arch. & Build. Eng., Tokyo Institute of Technology, Dr.Eng.

Former Grad. Stud., Tokyo Institute of Technology, M.Eng.

Prof. Emeritus, Tokyo Institute of Technology, Dr.Eng.

## 2. 検討モデルの設定

### 2.1 建物モデルの設定

検討対象とする基本モデルは図1に示すような学校体育館規模の支持架構付き屋根型円筒シェルである。屋根面は曲率半径  $R$  を変化させた剛接合単層ラチスシェルとし、梁間スパン  $L_x=36m$  となるようにネットワークを構成する。屋根構造の半開角  $\theta$  は  $20^\circ, 30^\circ, 40^\circ, 60^\circ$  の4種とし、屋根構造だけで構成される屋根モデルと下部構造付モデルを用いる。以降、梁間入力方向に沿った節点 AOA'、桁行入力方向に沿った節点 BOB'を中央線と呼ぶ。解析モデルの名称をそれぞれ図2に示す。屋根支持点間にテンション材を配し屋根スラストを打ち消す初期張力を与える。モデルを構成する部材は全て円形鋼管とし、固定荷重は屋根荷重  $1.18\text{kN/m}^2$ 、壁荷重で  $0.98\text{kN/m}^2$  とする。屋根構造は固定荷重を受ける時の最大部材応力で許容応力度設計し、屋根面で同一部材とする。支持架構は、ベースシア係数  $C_0=0.3$  のせん断力および屋根構造の固定荷重相当の軸力に対して弾性範囲とし、層間変形角が  $1/200$  以下となるように設計する。表1に形状諸元、表2に屋根部材諸元を、表3に下部構造の部材諸元を示す。下部構造の妻面梁、桁行梁は剛梁とする。非免震モデルの下部構造はラーメン構造、柱脚は固定支持、下部構造と桁行梁との間はピン接合とする。免震モデルは図1に示す位置に免震支承を挿入する。免震支承には、支承部上部の重量に依らず固有周期を設定できる球面すべり支承(SSB)を設定する。球面すべり支承の履歴モデルとして、2方向せん断力の相互作用を考慮できるMSS(Multiple Shear Spring)モデル<sup>10)</sup>と振り子運動による復元機構と摩擦力による減衰機構を組み合わせた摩擦振り子(FP)モデル<sup>11)</sup>の2種を比較して用いる。

### 2.2 免震支承モデルの設定

摩擦振り子(FP)モデルは、滑り面の曲率半径  $R=2500\text{mm}$  の振り子とし、スライダー径  $D_{sl}=60\text{mm}$ 、面圧  $\sigma=60\text{N/mm}^2$ 、速度  $v=400\text{mm/s}$  を想定し基準摩擦係数  $\mu=0.047$  の抵抗力を設定する。目標固有周期  $T$  は式(1)、水平反力  $Q$  は式(2)より与えられる。式(2)右辺第一項は摩擦力による減衰力、第二項は振り子による復元力を表している。摩擦係数は面圧および速度依存性を考慮した実験式(3)を用いる<sup>12)</sup>。

$$T = 2\pi \sqrt{\frac{2R}{g}} = 2\pi \sqrt{\frac{2 \times 2500}{9800}} = 4.49(\text{s}) \quad (1)$$

$$Q = \mu W \operatorname{sgn}(\dot{x}) + \frac{Wx}{l} \quad (2)$$

$$\mu_{(\sigma,v)} = \mu \times (1.746\sigma^{-0.141} + 0.02) \times (1 - 0.55e^{-0.019v}) \times e^{-\frac{20+v^4}{\sigma^2}} \quad (3)$$

MSSモデルはバネ8本の構成として、固定荷重下における免震層鉛直反力の4.7%を降伏荷重とし、2次剛性  $K_f$ 、初期剛性  $K_0$ をもつバイリニア型履歴とする。 $K_f$ は塑性後の固有周期が4.5(s)程度となるよう設定する。また履歴モデルにおいて初期剛性  $K_0=1000K_f$ として近似する。また、入力地震波は、El Centro NS, EW(1940), Hachinohe NS, EW(1968), JMA Kobe NS, EW(1995), Taft NS, EW(1952)の位相特性を用い、振幅特性を目標スペクトルに調整した地震動<sup>13)</sup>を用い水平方向に入力する。ここで目標スペクトルはレベル1、2の水平動規準化応答スペクトル<sup>14)</sup>に減衰による応答換算率  $D_{h0}^{15)}$ を乗じた式で表されるモデル化加速度応答スペクトル BRI-L1, L2とする。なお、 $T$ は固有周期(s)、 $h_r=0.05$ 、 $h_0$ は対象とする構造物の減衰定数である。図3に前述した各地震波の振幅特性を調整した模擬地震波の応答スペクトル( $h_0=0.02$ )を BRI-L1, L2と併せて示す。

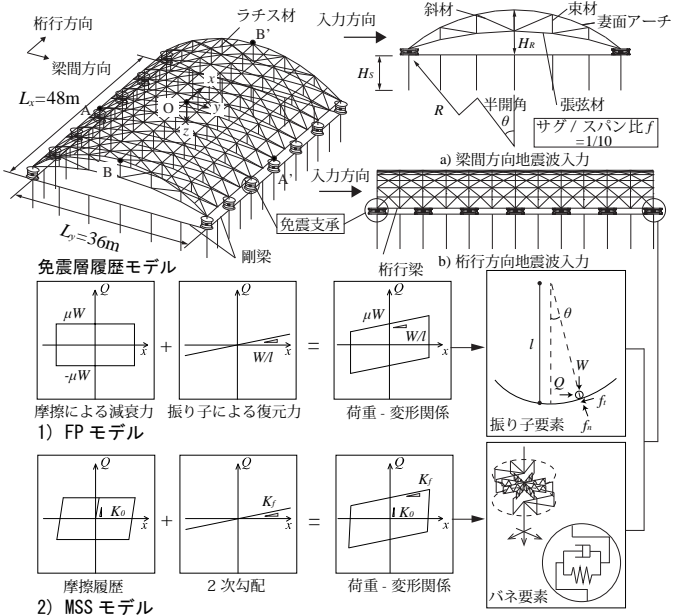


図1 検討モデル

**RN30- $R_T$ 1.0**  
①②③ ④

**FI30- $R_{T\text{Iso}}$ 1.0 $\beta$ 1.0- $R_M$ 1.4**  
①②③ ④ ⑤ ⑥

#### a) 屋根モデル

- ① R:屋根
- ② F:支持架構付
- ③ 半開角  $20^\circ, 30^\circ, 40^\circ, 60^\circ$
- ④ R<sub>r</sub>:剛体1質点系に対する
- ⑤  $\beta$ :免震層に対する下部構造固有周期比( $=T_{\text{Iso}}/T_R$ )
- N:非免震
- I:免震
- ⑥  $R_{T\text{Iso}}$ :免震層に対する屋根固有周期比( $=T_{\text{Iso}}/T_R$ )
- $R_M$ :剛体1質点系に対する屋根質量比( $=M_{\text{eq}}/M_R$ )

図2 解析モデル名称

表1 形状諸元

半開角 $\theta(\text{deg})$	梁間スパン $L_x(\text{m})$	桁行スパン $L_y(\text{m})$	曲率半径 $R(\text{m})$	ライズ $H_R(\text{m})$	サグ/スパン比 $f$
20	36	48	52.63	3.17	1/10
30			36.00	4.82	
40			28.00	6.55	
60			20.80	10.39	

表2 屋根部材諸元

	半開角	降伏応力度 $\sigma_y(\text{N/mm}^2)$	外径 $D_1(\text{cm})$	内径 $D_2(\text{cm})$	厚さ $t(\text{cm})$	断面積 $A(\text{cm}^2)$	断面二次モーメント $I(\text{cm}^4)$
ラチス材	20	235	21.6	20.1	0.8	49.2	$2.68 \times 10^3$
	30-60		16.5	15.7	0.4	20.3	$6.58 \times 10^2$
妻面アーチ	20-40	101.6	55.9	52.1	1.9	322.2	$1.18 \times 10^5$
	60		101.6	89.6	6.0	1802.0	$2.07 \times 10^6$
桁行梁	20-40	1200	101.6	95.6	3.0	929.3	$1.13 \times 10^6$
下弦材	60		3.8	0.0	1.9	11.3	$1.02 \times 10$
束材	弹性	11.4	10.2	0.6	20.4	20.4	$3.00 \times 10^3$
斜材		294	11.4	11.1	0.1	5.3	$8.46 \times 10$

表3 支持架構部材諸元

	半開角	降伏応力度 $\sigma_y(\text{N/mm}^2)$	外径 $D_1(\text{cm})$	内径 $D_2(\text{cm})$	厚さ $t(\text{cm})$	断面積 $A(\text{cm}^2)$	断面二次モーメント $I(\text{cm}^4)$
柱	20	235	61.0	59.8	0.6	113.8	$5.18 \times 10^4$
	30						
	40						
	60						

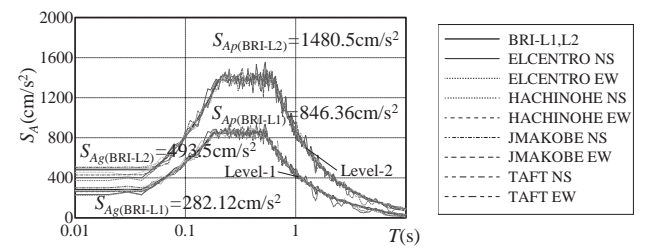


図3 モデル化加速度応答スペクトル( $h_0=0.02$ )

### 3. 支持架構付き円筒ラチスシェルの応答特性

免震化された屋根応答を論じるにあたり、支持架構付き円筒ラチスシェルの応答特性について既往の研究を引用しながら整理する。先述したように、ライズのある円筒ラチスシェルが梁間方向に地震を受けた場合、水平方向の地震入力に対しても鉛直方向の振動応答が励起することが知られている。文献 3)では半開角が異なる円筒ラチスシェルに対し、振動特性および応答加速度分布形状を分析し、屋根部各部の応答加速度と節点質量の積を静的地震荷重とする応答評価法を提案している。同文献においては梁間方向入力時の 2 質点アーチ簡易モデルを用いて水平入力に対する振動モードを逆対称 1 波の曲げ変形モードのみに限定し、変形に伴う支点部の角度増分から曲げ変形モードを導き固有モード、刺激係数、有効質量を得て応答増幅率を導いている。一方、文献 16)で示されているように平行方向入力時の固有振動モードは高次モードが全体の有効質量をほぼ占め、低次モードである逆対称 1 波は有効質量比が 0 に近い値となる。そのため逆対称 1 波の変形モードでの評価は必ずしも適切ではないと考えられる。

そこで本章では、まず半開角  $\theta=20^\circ, 30^\circ, 40^\circ, 60^\circ$  の円筒ラチスシェルモデルを用いて、梁間方向の地震応答の評価法を再評価し、共振の影響を考慮した既往の近似式の妥当性を確認する。次に、平行方向の地震応答を把握するために水平応答増幅率及び加速度分布の評価手法の提案を試みる。

#### 3.1 梁間方向入力時の応答

梁間方向入力時には、既往の円筒シェルの研究<sup>3,7)</sup>および高ライズドームの研究<sup>17)</sup>において 2 質点簡易アーチを用いても 3 質点簡易アーチと概ね等しい応答増幅率の曲線形状を持つことが示されている。図 4 に示す 2 質点の線形モデルは、各節点で曲げ回転バネを有し軸変形は生じない(軸剛性∞)ものとする。対象条件より、水平入力に対する振動モードを図 4 のように逆対称 1 波の曲げ変形モードのみとし、変形に伴う支点部の角度増分を  $\alpha$  とおいて曲げ変形モードを導くことで、固有ベクトル  $\mathbf{u}$ 、刺激係数  $\beta_{R1}$ 、有効質量  $M_{R1}$  が式(4)～(6)のように得られる。屋根質量は  $M_R=2m$  となる。

$$\mathbf{u}^T = [\delta_{1x}, \delta_{1y}, \delta_{2x}, \delta_{2y}] = u \left[ \sin \frac{3}{4}\theta, -\cos \frac{3}{4}\theta, \sin \frac{3}{4}\theta, \cos \frac{3}{4}\theta \right] \quad (4)$$

$$\beta_{R1} = \frac{\mathbf{u}^T \mathbf{m} \mathbf{I}_x}{\mathbf{u}^T \mathbf{m} \mathbf{u}} = \frac{1}{u} \sin \frac{3}{4}\theta \quad (5) \quad M_{R1} = \frac{(\mathbf{u}^T \mathbf{m} \mathbf{I}_x)^2}{\mathbf{u}^T \mathbf{m} \mathbf{u}} = 2m \sin^2 \frac{3}{4}\theta \quad (6)$$

ただし、 $u=2R\alpha \sin(\theta/4)$ 、 $\mathbf{m}$  は対角項が  $m_{ij}=[m, m, m, m]$  である質量マトリクス、 $\mathbf{I}_x$  は水平成分のみ 1 で他は 0 となるベクトルである。

Gupta<sup>18)</sup>は、剛体に近い振動モードと他のモードを伴う振動応答の最大値を求める方法として、地動と他モードを SRSS で評価する方法を示している。この考え方を参考に、アーチ各点の応答加速度  $a_R$  を曲げ変形モードの応答と軸変形(地動)モードの応答を SRSS で合成することにより式(7)で評価する。なお  $M_{R2}=M_R-M_{R1}$  である。

$$a_R^T = [a_{1x}, a_{1y}, a_{2x}, a_{2y}] = \sqrt{\left(S_{AR}\beta_{R1}u\right)^2 + \left(S_{Ag}I_x \frac{M_{R2}}{M_R}\right)^2} \quad (7)$$

ここに、 $S_{Ag}$  は設計用スペクトル地動最大加速度、 $S_{AR}$  は屋根固有周期における応答加速度である。

式(7)の応答加速度  $a_R$  を  $S_{Ag}$  で除すと応答増幅率式(8)が得られる。

$$\frac{a_R}{S_{Ag}} = \sqrt{\left(\frac{S_{AR}}{S_{Ag}}\beta_{R1}u\right)^2 + \left(I_x \frac{M_{R2}}{M_R}\right)^2} \quad (8)$$

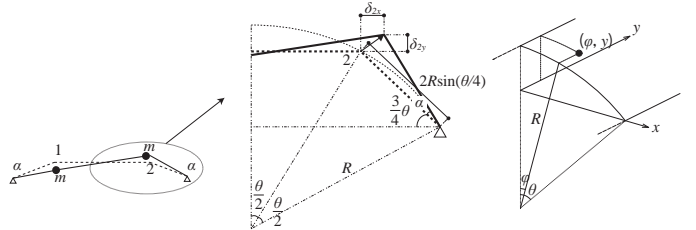


図 4 2 質点簡易アーチモデル

図 5 屋根面の座標表示

式(8)を水平、鉛直成分に分解すると水平応答増幅率および鉛直応答増幅率は式(9),(10)で表される。

$$\frac{(a_R)_x}{S_{Ag}} = \sqrt{\left\{ \left( \frac{S_{AR}}{S_{Ag}} \right)^2 + 1 \right\} \sin^4 \frac{3}{4}\theta - 2 \sin^2 \frac{3}{4}\theta + 1} \quad (9)$$

$$\frac{(a_R)_y}{S_{Ag}} = \frac{S_{AR}}{S_{Ag}} \sin^2 \frac{3}{4}\theta \quad (10)$$

式(8)の第 1 項は屋根主要モードの固有周期が加速度応答  $S_{Ap}$  一定領域に位置することを前提とし、図 3 のモデル化応答スペクトル BRI-L1 に基づき  $S_{AR}=S_{Ap}=3S_{Ag}$  としている。また、式(9),(10)を解析値を補間するよう近似することで式(11),(12)を提案している。

$$C_H(\theta) = C_1 \sin^2 \frac{3}{4}\theta - C_2 \sin \frac{3}{4}\theta + C_3 \quad (11) \quad C_V(\theta) = C_4 \sin \frac{3}{4}\theta \cos \frac{3}{4}\theta \quad (12)$$

ここで式中の係数は以下に示す値が同定されている。

$$C_1=4.00, \quad C_2=1.33, \quad C_3=1.50, \quad C_4=2.00$$

$C_H(\theta), \quad C_V(\theta)$  を用いて応答増幅率は式(13),(14)で定められている。

$$F_H = \begin{cases} C_H(\theta) & (0 < R_T \leq 1/(2C_H(\theta)-1)^2) \\ 1/2(\sqrt{1/R_T}+1) & (1/(2C_H(\theta)-1)^2 < R_T \leq 1) \\ 1 & (1 < R_T) \end{cases} \quad (13)$$

$$F_V = \begin{cases} 3C_V(\theta) & (0 < R_T \leq 5/16\sqrt{2\theta}) \\ (\sqrt{5/\sqrt{2\theta}R_T}-1)C_V(\theta) & (5/16\sqrt{2\theta} < R_T \leq 5/\sqrt{2\theta}) \\ 0 & (5/\sqrt{2\theta} < R_T) \end{cases} \quad (14)$$

なお固有周期比  $R_T=T_{eq}/T_R$  (等価 1 質点系固有周期)/ $T_R$ (屋根固有周期)である。屋根各部の応答加速度分布については文献 7)において、外面・面内加速度の振動成分を傾斜角  $\phi$ (図 5)に沿って水平・鉛直方向に分解し、それぞれ再合成することで半開角の大きい範囲を補間した加速度分布式(15)(16)が提案されている。

$$A_{H(\phi,y)} = A_{eq} \{ 1 + (F_H - 1) \cos(\pi\phi/2\theta) \cos \pi(y/L_y) + F_V \sin(\pi\phi/\theta) \cos \pi(y/L_y) \sin \phi/2 \} \quad (15)$$

$$A_{V(\phi,y)} = A_{eq} F_V \sin(\pi\phi/\theta) \cos \pi(y/L_y) \cos \phi/2 \quad (16)$$

文献 8)では、 $R_T=1$  近傍で質量比が大きい場合、屋根部と下部構造の共振による応答増幅が生じることが指摘されており、解析値を包絡するよう設定された評価のための近似式(17),(18)が提案されている。なお質量比  $R_M=M_{eq}/M_R$  (等価 1 質点系質量)/ $M_R$ (屋根質量)、 $\theta$  は半開角(rad.)である。

$$F'_H = \sqrt{F_H^2 + \frac{1}{(1-R_T^2)^2 + (1/R_M)^\theta}} \quad (17)$$

$$F'_V = \sqrt{F_V^2 + \frac{1}{(1-R_T^2)^2 + (1/R_M)^\theta}} \quad (18)$$

ここでは、2質点系の振動応答を用いてこの応答増幅率近似式の説明を試みる。図6のように屋根部と下部構造より構成される2質点系モデルの固有値解析において各質点の水平応答増幅率はモード刺激関数として表される。上部の質量 $M_R$ 、下部の質量 $M_S=M_{eq}-M_R$ とし、質量比 $R_{M1}=M_S/M_R$ 、固有周期比 $R_T=T_{eq}/T_R$ と定義すると、1次固有振動数 $\omega_1$ は式(19)で表される。なお質量比 $R_M=M_{eq}/M_R=R_{M1}+1$ となる。

$$\omega_1 = \sqrt{\frac{R_{M1}(1+R_T^2)-\sqrt{R_{M1}^2(1+R_T^2)^2-4R_{M1}^3R_T^2/(1+R_{M1})}}{2R_{M1}^2R_T^2/(1+R_{M1})}} \quad (19)$$

このとき、下部質点 $M_S$ の振幅を1とした場合の1次振動モードおよび刺激係数 $\beta$ は式(20),(21)となる。

$$\begin{pmatrix} {}_1\phi_1 \\ {}_1\phi_2 \end{pmatrix} = \begin{pmatrix} 1 \\ \frac{K_R}{K_R-\omega_1^2 M_R} \end{pmatrix} \quad (20)$$

$${}_1\beta = \frac{\sum {}_1\phi_i M_i}{\sum {}_1\phi_i^2 M_i} = \frac{M_S + \frac{K_R M_R}{K_R - \omega_1^2 M_R}}{M_S + \left( \frac{K_R}{K_R - \omega_1^2 M_R} \right)^2 M_R} \quad (21)$$

ここで、 $M_R$ の振幅 ${}_1\phi_2$ をBとおくと刺激係数は式(22)となる。

$${}_1\beta = \frac{R_{M1} + {}_1\phi_2}{R_{M1} + B^2} = \frac{R_{M1} + B}{R_{M1} + B^2} \quad (22) \quad B = \frac{K_R}{K_R - \omega_1^2 M_R} = \frac{1}{1 - \omega_1^2 / \omega_R^2} \quad (23)$$

Bは式(24)のCを用いて式(25)で表される。

$$\frac{\omega_1^2}{\omega_R^2} = C \quad (24) \quad B = \frac{1}{1-C} = 1 + \frac{C}{1-C} \quad (25)$$

屋根質点の1次モードの応答増幅率を $F'$ とおくと $F'$ は刺激係数に屋根質量 $M_R$ の振幅Bを乗じて式(26)で表される。

$$F' = {}_1\beta {}_1\phi_2 = \frac{R_{M1} + B}{R_{M1} + B^2} B = 1 + \frac{R_{M1}(B-1)}{R_{M1} + B^2} = 1 + \frac{C(1-C)R_{M1}}{(1-C)^2 R_{M1} + 1} \quad (26)$$

また、Cは式(19)を用いて式(27)となる。

$$C = \left( \frac{\omega_1}{\omega_R} \right)^2 = \frac{(1+R_T^2)-\sqrt{(1+R_T^2)^2-4R_{M1}R_T^2/(1+R_{M1})}}{2R_{M1}R_T^2/(1+R_{M1})} \quad (27)$$

1次固有周期はCを用いて式(28)より得られる。

$$T_1 = \frac{1}{\sqrt{C}} T_R \quad (28)$$

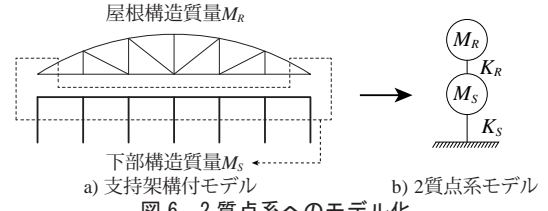
式(26)より得られた2質点系モデルの屋根質点に対する応答増幅率 $F'$ と屋根の応答増幅率 $F_H, F_V$ を乗じることで下部構造付きモデルの応答増幅率 $F'_{H,V}$ が得られる。下式においては $R_{M1}=R_M-1$ と置き換えていている。

$$F'_{H,V} = F_{H,V} \times \left( 1 + \frac{C(1-C)(R_M-1)}{(1-C)^2(R_M-1)+1} \right) \quad (29)$$

2質点評価式(29)と既往評価式(17),(18)の下部質点に対する屋根質点の増幅率 $F'/F_R-R_T$ 関係を図7に示す。2質点系の振動モデルを用いて導出した共振時増幅率の評価式と既往評価式は概ね対応関係にあることがわかる。

### 3.2 桁行方向入力時の応答

次に桁行方向の屋根応答評価を行う。屋根モデルに対して幾何剛性を考慮した固有値解析を行い、得られた卓越固有モードを有効質量比、固有周期と併せて図8に示す。「I」は面内変形モードを示す。どの半開角においても面内変形モードの有効質量比が最も大きくなっている。



b) 2質点系モデル

a) 支持架構付モデル

図6 2質点系へのモデル化

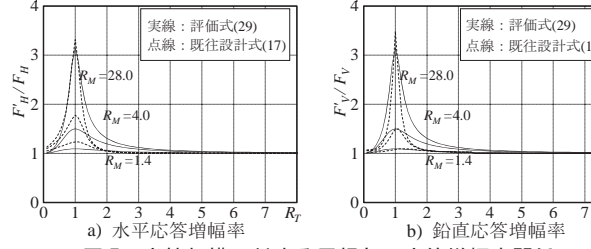


図7 支持架構に対する屋根部の応答増幅率関係

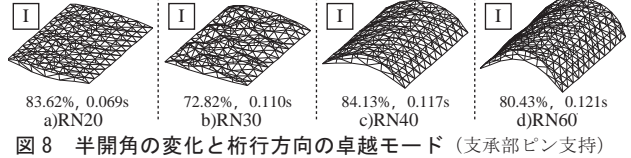
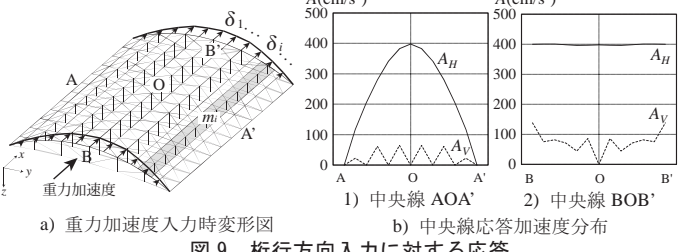


図8 半開角の変化と桁行方向の卓越モード（支承部ピン支持）



a) 重力加速度入力時変形図

b) 中央線応答加速度分布

図9 桁行方向入力に対する応答

半開角の増加に伴い面内変形モードの固有周期が長くなる。次に、地震応答解析を行い、半開角および屋根剛性が地震応答特性に与える影響を分析する。解析には、有効質量比和98%以上のモードを採用したCQC法を用いる。図9b)に見るように、桁行入力に対して屋根応答は水平方向が主体となり鉛直応答は小さい。本研究では桁行方向入力に対する応答評価は水平方向に対し行う。入力はレベル1基準応答スペクトルに低減率 $D_h$ を乗じたBRI-L1(図3)を用いる。

得られた加速度応答に対する予測式の誘導を試みる。屋根節点それぞれが質量 $m_i$ を持つ多質点系と仮定し、その多質点系モデルに対して、屋根各部重量に比例した水平荷重を入力した時の変形 $\delta_i$ を用いた屋根各部の水平応答増幅率を算出する。具体的には固有値解析により得られた面内変形モードの固有周期 $T_R$ と減衰定数 $h_r$ から加速度応答スペクトルより得られる $S_{AR}(T_R, h_r)$ に対して、1質点系の代表変位に対する多質点系の各質点の変位の比を乗じることで屋根各部の応答加速度を得る。ここで図9a)に示すように屋根各部重量に比例した水平荷重を入力したときの頂点の変形 $\delta_1$ に対する各質点変形 $\delta_i$ の比を $\gamma_{\delta i}=\delta_i/\delta_1$ とする。この関係を用いて1質点系の代表変位 $\delta_{eq}$ を式(30)のように定める。これより各質点の応答加速度は式(31)で表され、水平応答増幅率は式(32)となる。

$$\delta_{eq} = \frac{m_1(\gamma_{\delta 1}\delta_1)^2 + m_2(\gamma_{\delta 2}\delta_1)^2 + \dots + m_N(\gamma_{\delta N}\delta_1)^2}{m_1(\gamma_{\delta 1}\delta_1) + m_2(\gamma_{\delta 2}\delta_1) + \dots + m_N(\gamma_{\delta N}\delta_1)} = \delta_1 \sum_{i=1}^N m_i \gamma_{\delta i}^2 / \sum_{i=1}^N m_i \gamma_{\delta i}^2 \quad (30)$$

$$A_{HI} = S_{AR}(T_R, h_r) \times \delta_{eq} = S_{AR}(T_R, h_r) \times \gamma_{\delta 1} \sum_{i=1}^N m_i \gamma_{\delta i} / \sum_{i=1}^N m_i \gamma_{\delta i}^2 \quad (31)$$

$$F_{HI} = A_{HI} / A_{eq} = S_{AR}(T_R, h_r) / S_{Ag} \times \gamma_{\delta 1} \sum_{i=1}^N m_i \gamma_{\delta i} / \sum_{i=1}^N m_i \gamma_{\delta i}^2 \quad (32)$$

最大応答増幅率は式(32)を近似して式(33)のように表す。また、屋根各部の応答を図9a)のように近似し式(31)を式(34)のように表す。

$$F_H = C_5 \times S_{AR}(T_r, h_r) / S_{Ag} \quad (33) \quad C_5 = \gamma_{\delta i} \sum_{i=1}^N m_i \gamma_{\delta i} / \sum_{i=1}^N m_i \gamma_{\delta i}^2 \approx 1.4$$

$$A_H = A_{eq} \{ 1 + (F_H - 1) \cos \pi (y/L_y) \} \quad (34) \quad A_V = 0 \quad (35)$$

なお  $A_{eq}$  は屋根剛体 1 質点系モデルの応答加速度である。図10に式(34)で求めた水平応答加速度とCQC法による応答加速度を比較して示す。半開角・屋根剛性に依らず概ね良い精度が得られている。

続いて、下部構造の水平剛性を 0.1, 1, 5, 10, 100 倍と変化させた下部構造を用いることで、周期比が地震応答特性に与える影響を分析する。また、下部構造の質量を 1, 10, 100 倍とし質量を変化させた場合の応答増幅への影響も分析する。図11に質量 1 倍 ( $R_M = 1.4$  程度) で  $R_T$  を変化させた場合の卓越固有モードを有効質量比、固有周期と併せて示す。「I」は面内変形モード、「S」はスウェイモードを示す。下部剛性倍率 0.1 倍のモデル ( $R_T = 7$  程度) では下部構造がスウェイするモードが見られ、他のモデルでは剛性倍率が大きくなるほど高次モードが卓越する傾向が見られる。次に地震応答解析を行い、下部構造の剛性および質量が応答に与える影響を分析する。式(32)の屋根各部の応答増幅率と式(17), (29)を用いて支持架構付モデルの応答評価を行う。

式(29)とCQC法の水平応答増幅率の比較を図12に示す。質量比  $R_M$  が大きくなると下部構造と屋根構造の共振時 ( $R_T = 1$ ) に応答が増幅することがわかる。評価式はどのモデルに対してもほぼ解析値を包括しており精度良く予測できている。また評価式により求められる  $A_H$  とCQC法による水平応答加速度を比較したものを図13に示す。共振時には半開角が大きくなるにつれ多少ばらつきは見られるが、屋根各部の応答加速度を概ね良く対応している。

図14に中央線における応答加速度を示す。中央線AOA'およびBOB'より質量比が大きくなるにつれ中央部の応答が増幅することがわかる。次に、評価式による  $A_H$  と質量の積を静的地震荷重として

載荷した場合の変位および軸力変化量とCQC法との比較を図15に示す。水平変位、軸力を精度よく予測できていることがわかる。以上より提案した評価法は梁間方向入力だけでなく桁行方向入力も屋根部の変位、部材応力の応答を概ね予測できることがわかる。

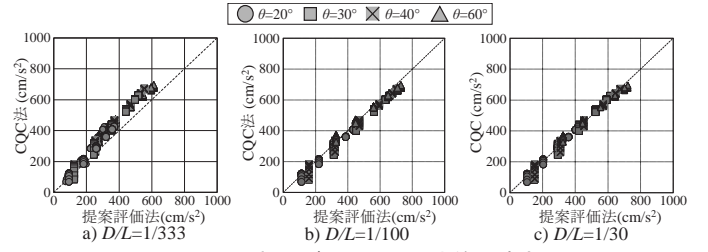


図10 屋根モデルにおける応答加速度

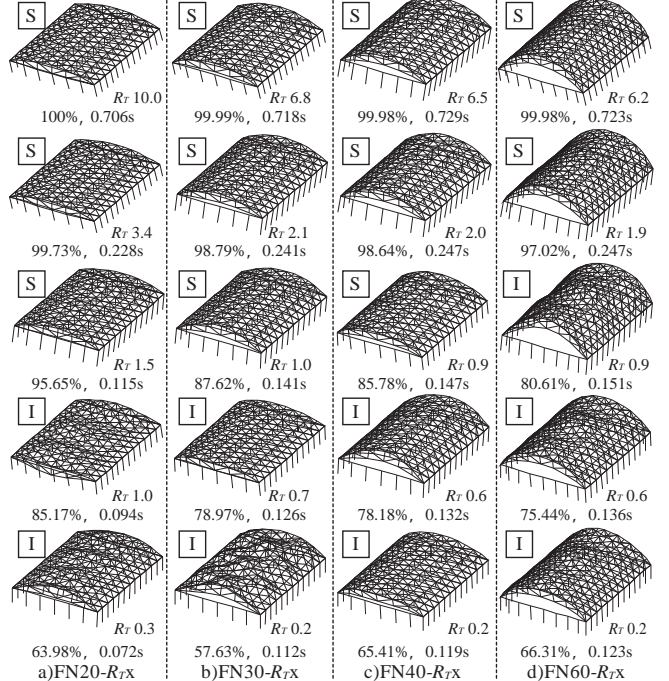


図11 下部剛性の変化と卓越モード( $R_M=1.4$ )

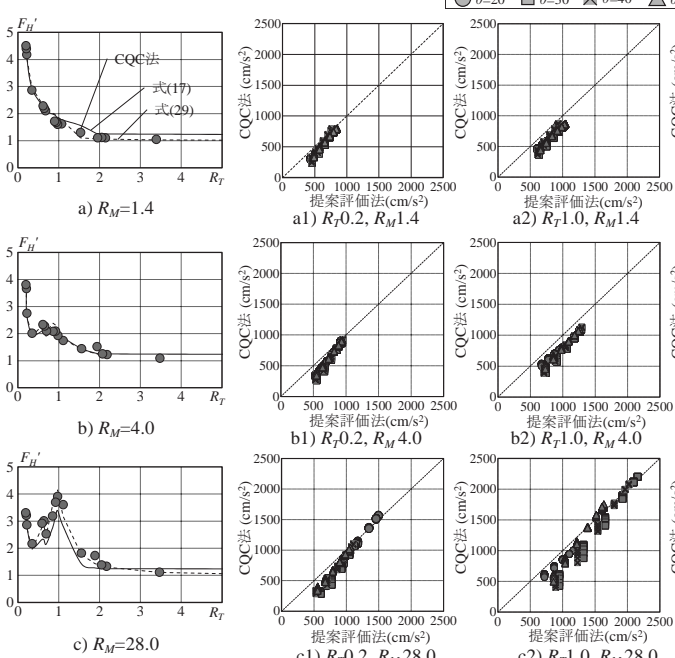


図12 水平応答増幅率

図13 支持架構付モデルにおける評価式の精度(水平応答加速度)

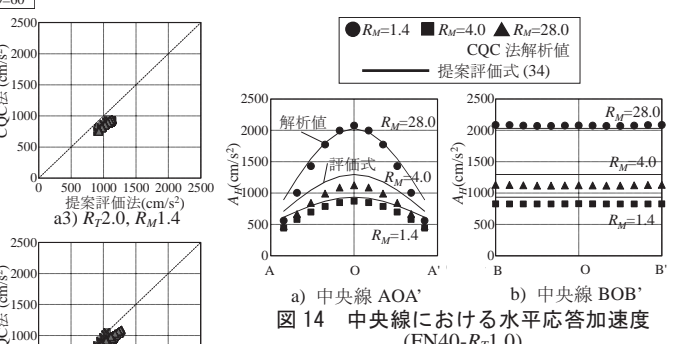


図14 中央線における水平応答加速度(FN40-R\_T1.0)

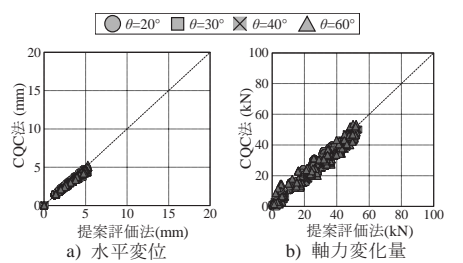


図15 静的地震荷重評価法の精度( $R_T1.0, R_M1.4$ )

#### 4. 球面すべり支承が挿入された屋根モデルの地震応答特性

前章で設定した屋根応答増幅率を利用して、屋根支持部に免震支承を挿入した際の屋根部の応答評価を試みる。文献9)では免震支承を挿入したラチスドームについて、屋根部を剛体とした等価1質点系に対する免震層の等価固有周期比 $\beta>5$ または屋根に対する下部構造の質量比 $R_M<1.2$ の範囲においては下部構造の影響を無視し、免震部を下部構造と読み替えて既往の屋根応答評価手法が利用できることが示されている。本章では上記条件が満足できない場合も含めて応答評価式の誘導を試みる。

##### 4.1 免震層の等価剛性評価

まず下部構造の影響が無視できる範囲においては、図16に示すように屋根部を免震層で支持された1質点系でモデル化し、免震建築物の告示計算法(図16)<sup>19)</sup>と同様の手法で免震層の復元力特性をバイリニア曲線でモデル化し、免震層の等価減衰を考慮した $S_A-S_D$ スペクトル曲線と免震層の復元力の交点で応答値を求める(図17)。収束後の免震層の応答変形量 $\delta_s$ 時の割線剛性 $K_s$ を降伏せん断力 $Q_{dy}$ を用いて式(38)より求め、式(37)を用いて等価固有周期 $T_s$ を、式(36)により接線周期 $T_f$ を求める。

$$T_f = 2\pi \sqrt{\frac{M_R}{K_f}} \geq 2.0 \quad (36) \quad T_s = 2\pi \sqrt{\frac{M_R}{K_s}} \quad (37) \quad K_s = K_f + \frac{Q_{dy}}{\delta_s} \quad (38)$$

また限界変形 $\delta_s$ 時の等価減衰 $h_{eq}$ を式(39)より求める。

$$h_{eq} = h_0 + \frac{2(1+K_0/K_f) \ln(K_0/K_f + \mu_m - 1)}{\pi \mu_m (K_0/K_f) \mu_m^{K_f/K_0}} \quad (39)$$

ここに、 $\mu_m = \delta_s/\delta_{dy}$ は限界変形時の免震層塑性率、 $\delta_{dy}$ は降伏変位である。文献20)では応答評価用の固有周期を免震層の初期剛性 $K_0$ と収束後の割線剛性 $K_s$ の平均の剛性より求まる固有周期 $T_{Iso}$ として式(40)で定めている。

$$T_{Iso} = 2\pi \sqrt{\frac{2M_R}{K_s + K_0}} \quad (40)$$

この応答評価用固有周期を用いて屋根型円筒ラチスシェルの応答を評価し、時刻歴応答解析と比較することで精度の確認を行う。SSB免震支承のように固有周期が常に長周期領域にある構造物の減衰による応答低減率の評価式として文献15)より式(41)を用いる。

$$D_h = \frac{\sqrt{1+25h_0}}{\sqrt{1+25h_{eq}}} \left[ \frac{\sqrt{h_{eq}/h_0}(T_f - 2)}{40} + 1 \right] \quad (2 \leq T_f \leq 8) \quad (41)$$

式(40)を用いて減衰の影響を考慮した $S_A-S_D$ スペクトル曲線と免震層の復元力の交点から基準変位と免震層に働くせん断力 $Q_r$ が求まる。得られた $Q_r$ より屋根設計用水平規準加速度 ${}_H A_{eq}$ を式(42)により求める。ただし、文献9)で示されているように、弾塑性免震支承において鉛直応答加速度 ${}_V A_{eq}$ は減衰の応答低減効果を無視するものとし、式(43)により求める。

$${}_H A_{eq} = Q_r/M_R \quad (42) \quad {}_V A_{eq} = {}_H A_{eq}/D_h \quad (43)$$

##### 4.2 評価式の精度

既往の評価式を用いて、半開角の異なるモデルにおける応答評価を試みる。具体的には4.1節の規準応答加速度式(42),(43)に屋根部の応答増幅率を乗じ、屋根各部の応答加速度を評価する。梁間方向入力時の得られた卓越固有モードを有効質量比、固有周期と併せて図18に示す。半開角が大きくなるにつれ逆対称1波(O1)の有効質量比は大きくなる。SSBのように剛塑性に近い履歴モデルでは、弹性範

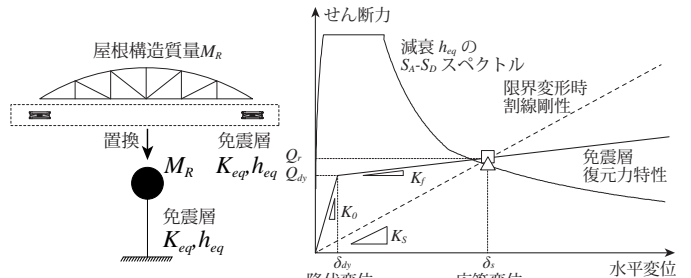


図16 1質点系へのモデル化

図17 等価線形化による応答評価

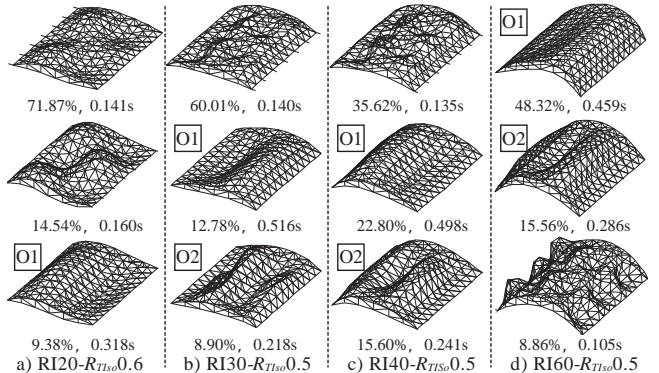


図17 等価線形化による応答評価

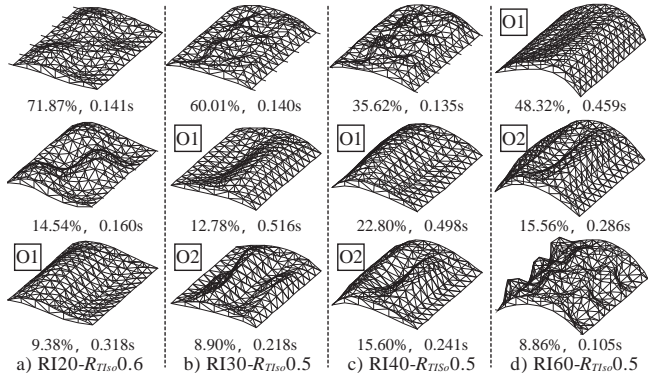


図18 免震屋根モデル梁間方向の卓越固有モード

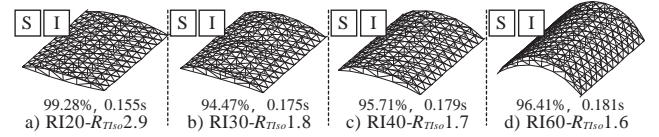


図19 免震屋根モデル桁行方向の卓越固有モード

囲でスウェイのモードより逆対称1波、逆対称2波(O2)といったモードが卓越する。また、桁行方向入力時の卓越固有モードを有効質量比、固有周期と併せて図19に示す。各半開角でスウェイモード(S)と面内変形モード(I)が卓越し、これらのモードのみで有効質量比和90%以上を占めている。これらのモデルを用い幾何非線形性を考慮した時刻歴応答解析を行い、地震応答特性を分析する。入力地震波はレベル2地震動を想定し、図3に示す振幅特性をBRI-L2に調整した観測地震位相4波を用いる。

図20a,b)に梁間方向入力時の中央線における応答加速度を非免震モデルの応答加速度と併せて示す。水平応答加速度では中央部の応答が約8割程度減少し、鉛直応答加速度では7割程度減少している。図20c)に桁行方向入力時の中央線における水平応答加速度を非免震モデルの水平応答加速度と比較して示す。中央部の応答が約8割程度減少していることがわかる。

梁間方向入力時の評価式から得られる $A_H, A_V$ と時刻歴応答解析による応答加速度を比較したものを図21a,b)に示す。評価式が小さくなるところも見られるが概ね精度よく予測できている。桁行方向入力時の時刻歴応答解析を行い、図21c)に桁行方向評価式から得られた水平応答加速度との比較を示す。応答を小さく評価しているところもあるが最大値は概ね捉えられている。支承部付近の応答は初期剛性の高い免震支承の影響で応答がやや大きくなる場合がある。

##### 4.3 免震支承モデルの比較

屋根モデルにおいて、1方向入力におけるFPモデル、MSSモデルの履歴を比較し分析を行う。図22にBRI-L2に基づき標準化したELCENTRO NS波を入力した際の履歴の比較を示す。降伏せん断力

および水平変位共にほぼ同等であり、他のモデルにおいても同様の傾向が見られる。1方向入力時ではFPモデル、MSSモデルの履歴モデルとしての差はあまりみられないことがわかる。

続いて2方向の入力に対するFPモデル、MSSモデルの比較を行う。入力は橿円・円入力およびそれぞれの方向の観測波位相を図3のスペクトルに整合させエネルギー量が加力方向によらず同等とした位相差入力とする。図23に橿円・円入力の例を示す。

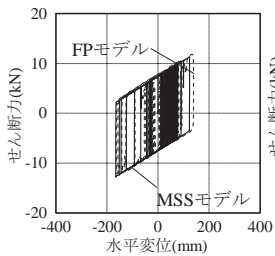
式(44)を用いて、位相差 $\theta$ を変えることにより水平1方向・橿円・円と変化する加速度オービット(図23b)を入力する。

$$\begin{cases} A_x = \omega_0^2 a \sin \omega_0 t \\ A_y = \omega_0^2 a \sin(\omega_0 t + \theta) \end{cases} \quad u_s = \frac{1}{\sqrt{\{1 - (\omega_0/\omega)^2\}^2 + 4h^2(\omega_0/\omega)^2}} a \quad (45)$$

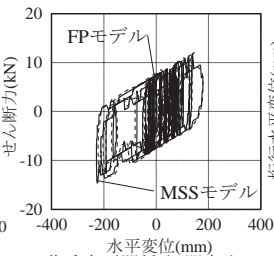
図24に橿円、円加振した際の荷重変形関係および変位オービットをFPモデル、MSSモデルと比較して示す。橿円加振ではX軸はバイリニアの形状であるのに対しY軸では菱形となる。円加振ではX軸、Y軸共に紡錘形となっている。いずれも安定した履歴であり、橿円から円になるにつれ丸みを帯びる。FPモデルは全体的に丸みを帶びているのに対し、MSSモデルではバネの本数に応じ階段状になる傾向が見られる。しかし、履歴形状や変位オービットの傾向や降伏せん断力、水平変位は概ね一致しており同等の復元力特性を持つ履歴モデルとなっている。2方向にBRI-L2に基づき標準化した観測地震波を入力した際の応答を図25に示す。2方向入力時でも降伏せん断力、水平変位共に同様の傾向を示し、FP、MSSモデルは概ね対応した応答を示す。図26に観測地震4波の変位オービットをFP、MSSモデルと併せて示す。水平変位は多少ずれが見られるものの傾向はほぼ同等となっている。図27に1方向入力時と2方向入力時の履歴を比較したものを示す。梁間方向の荷重変形関係は滑りの中心点がずれ、水平変位が多少異なるが概ね同等の復元力特性が見られるのに対し、桁行方向の荷重変形関係は2方向入力時の水平変位の方が大きくなる傾向が見られる。

## 5. 球面すべり支承が挿入された支持架構付モデルの地震応答特性

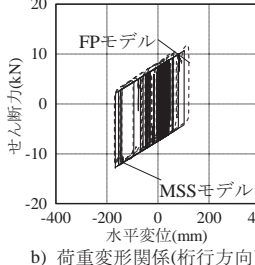
最後に、免震支承の下に下部構造を有する支持架構付免震円筒ラ



a) 荷重変形関係(梁間方向)

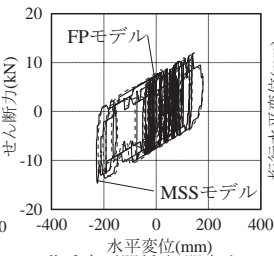


b) 荷重変形関係(桁行方向)

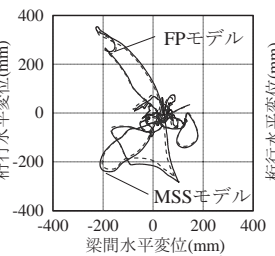


c) 荷重変形関係(梁間EW)

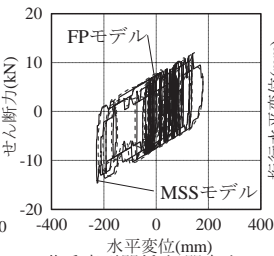
図22 1方向入力時の  
免震層履歴(RI40,  
ELCENTRO NS(梁間)EW(桁行))



a) 荷重変形関係(梁間方向)



b) 荷重変形関係(桁行方向)



c) 荷重変形関係(梁間EW)

図23 2方向入力時の  
免震層履歴(RI40,  
ELCENTRO NS(梁間)EW(桁行))

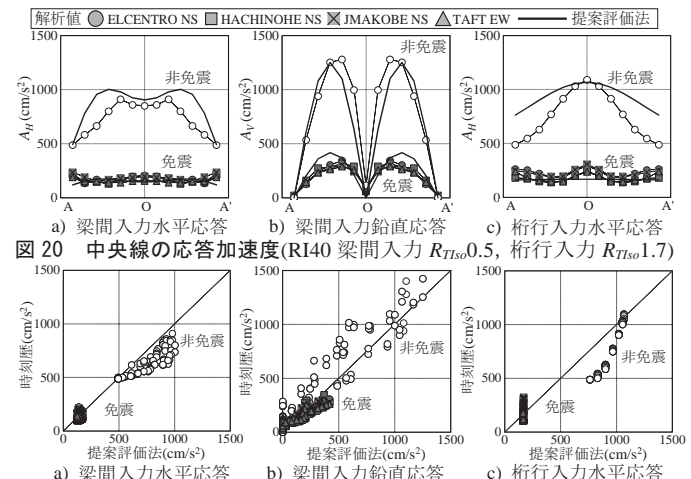


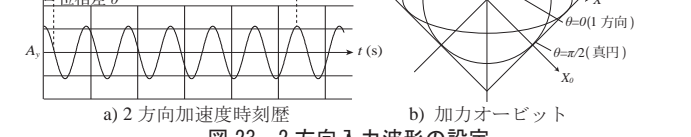
図20 中央線の応答加速度(RI40 梁間入力 R\_{Tiso}0.5, 桁行入力 R\_{Tiso}1.7)

a) 梁間入力水平応答

b) 梁間入力鉛直応答

c) 桁行入力水平応答

図21 評価法の精度(RI40 梁間入力 R\_{Tiso}0.5, 桁行入力 R\_{Tiso}1.7)



a) 2方向加速度時刻歴

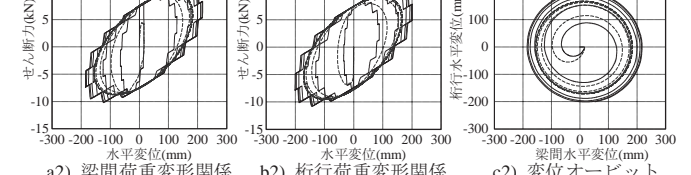
b) 加力オービット

図23 2方向入力波形の設定



a) 2方向加速度時刻歴

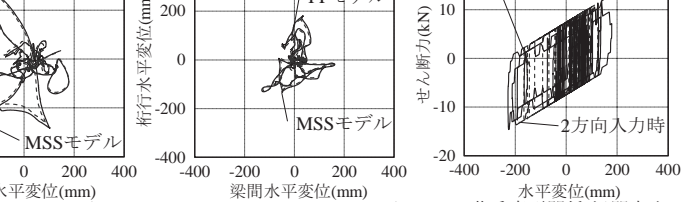
b) 加力オービット



a) 梁間荷重変形関係

b) 桁行荷重変形関係

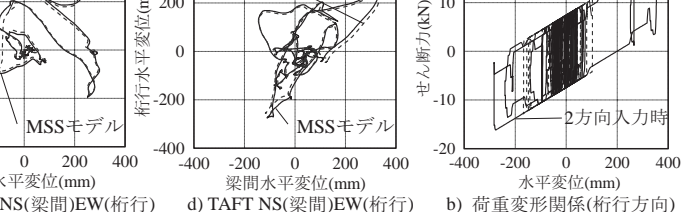
c) 変位オービット



a) 梁間荷重変形関係

b) 桁行荷重変形関係

c) 変位オービット



a) 梁間荷重変形関係

b) 桁行荷重変形関係

図24 橿円および真円入力(RI40)

a) 荷重変形関係(梁間方向)

b) 荷重変形関係(桁行方向)

c) 荷重変形関係(梁間EW)

d) 荷重変形関係(桁行EW)

e) 荷重変形関係(梁間EW)

f) 荷重変形関係(桁行EW)

図25 2方向入力時の  
免震層履歴(RI40,  
ELCENTRO NS(梁間)EW(桁行))

図26 観測地震波2方向入力時の  
変位オービット(RI40)

図27 2方向と1方向入力  
の履歴比較(RI40, MSS,  
ELCENTRO NS(梁間)EW(桁行))

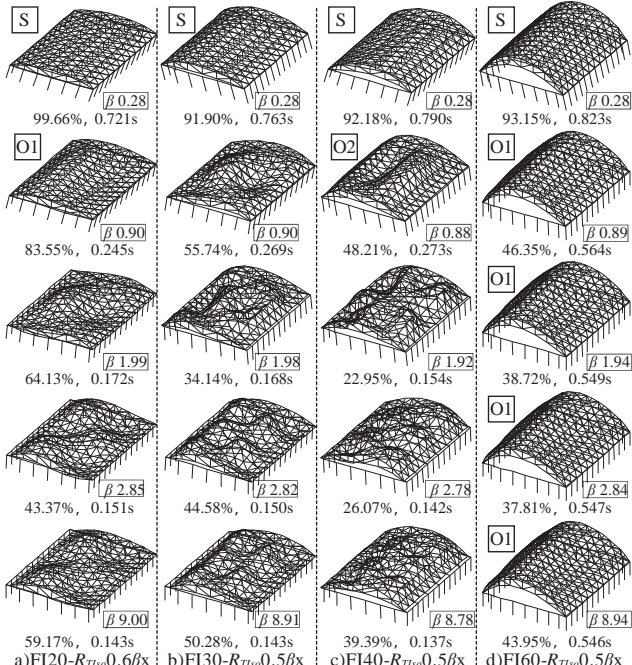


図 28 支持架構付免震モデル梁間方向の卓越固有モード( $R_M=1.4$ )

チスシェル屋根について、応答評価を行う。非免震構造モデルにおいては下部構造の質量が大きく、等価 1 質点系固有周期  $T_{eq}$  が屋根固有周期  $T_k$  に近接する場合には屋根部の応答が増幅するが、屋根部と屋根構造の間に免震層を設けることで応答が低減できれば、屋根免震構造は屋根部の応答増幅を抑える有効な手法となる。本章では、下部構造の剛性変化や質量変化が屋根応答に与える影響を分析し、前章で整理した梁間および桁行方向入力時の屋根応答評価式を下部構造付モデルの場合においても適用することを試みる。下部構造の剛性倍率は非免震モデルと同様とし、下部構造の質量は 1, 10, 50 倍とする。また免震層の履歴モデルに MSS モデルを採用し、入力地震波は図 3 の BRI-L2 に基準化した観測地震位相 4 波を用いる。

### 5.1 評価式の精度

免震支承の下に下部構造を持つ中間免震層ラチスシェルに地震波を入力した場合の検討を行う。まず、幾何剛性を考慮した固有値解析を行う。図 28 に梁間方向入力時の卓越固有モードを有効質量比、固有周期と併せて示す。下部構造倍率が 0.1 倍( $\beta=0.3$  程度)のモデルでは半開角に依らずスウェイモードが卓越し、倍率が大きくなるにつれ高次の面外変形モードが卓越する。図 29 に桁行方向入力時の卓越固有モードを示す。下部構造倍率が 0.1 倍のモデルでは梁間方向入力時と同様にスウェイモードが卓越する。また、下部剛性倍率が大きくなるにつれ面外変形モードが卓越することがわかる。次に時刻歴応答解析を行い、地震応答特性を分析する。図 30a,b)に梁間方向入力時の中央線における応答加速度を非免震と併せて示す。水平、鉛直応答共に応答が 7 割程度減少していることがわかる。図 30c)に桁行方向入力時の中央線 A-O-A' の応答加速度を示す。梁間方向入力時と同様に約 7 割程度応答が減少していることがわかる。

先述したように、 $\beta > 5$  または  $R_M < 1.2$  の場合には下部構造の影響を無視し既往の評価式を用いて評価が可能とされている。しかし、免震層が SSB の場合には初期剛性が高くなり、 $\beta$  が 1 前後となる。また RC 構造のように質量比が高い場合は下部構造剛性の影響が無

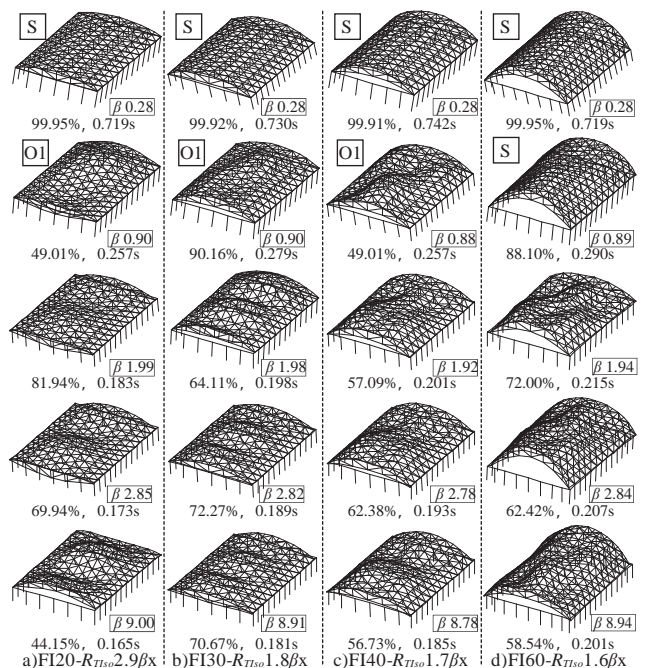


図 29 支持架構付免震モデル桁行方向の卓越固有モード( $R_M=1.4$ )

視できない。そこで、第 3 章で提案した下部構造との共振を考慮した式(29)を用いて支持架構付モデルの屋根部応答を評価する。ここで、式(27)を免震層の初期固有周期  $T_{Iso}$  と等価 1 質点系の固有周期  $T_{eq}$  の比  $\beta$  を用いて式(46)のように表す。 $\beta$  が 1 に近づくと共振の影響が考慮される。また質量比が大きくなるにつれ大きくなることも表現されている。

$$C = \frac{(1+\beta^2) - \sqrt{(1+\beta^2)^2 - 4R_{M1}\beta^2}}{2R_{M1}\beta^2/(1+R_{M1})} \quad (46)$$

式(29),(46)を用いて下部構造付モデルの屋根部の水平および鉛直応答増幅率を式(47)で近似する。下式は式(29)と同義である。

$$F_{H,V}' = F_{H,V} \times F' \quad (47)$$

または、既往の式(18)の形式を用いて式(48)のように表す。

$$F_{H,V}' = \sqrt{F_{H,V}^2 + \frac{1}{(1-\beta^2)^2 + (1/R_M)}} \quad (48)$$

免震層と下部構造の共振時( $\beta=1$ )の梁間方向入力時の評価式と時刻歴応答解析による応答加速度比較を式(47), (48)共に併せて図 31 に示す。水平、鉛直共に質量比が大きくなるにつれ応答にばらつきが見られるが、両式共に評価式は概ね安全側に評価できている。図 32 に桁行方向入力時の応答加速度を同様に示す。両式共に同様の傾向を示し、応答を過小に評価しているところも見られるが最大値は概ね対応している。ただし図 32c)に見るよう桁行方向で質量比  $R_M$  が大きい場合には、初期剛性の高い免震支承付近で応答が評価値に比べ大きくなる傾向が見られる。

## 6. 結

支持架構付き円筒ラチスシェル構造において、等価 2 質点系のモデルを用いて屋根部と下部構造が共振する際の応答増幅率の再定義を行い、梁間方向および桁行方向の応答評価式を整備した。また、屋根支持部に免震支承を挿入したモデルにおいて、初期剛性の高い

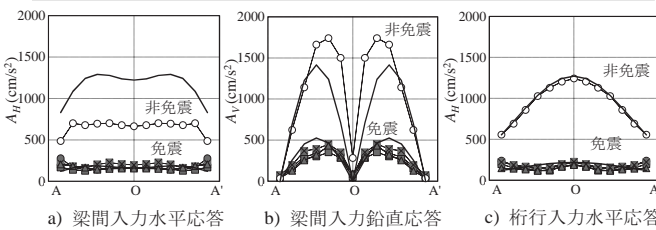


図 30 中央線 A-O-A' の応答加速度( $\theta=40^\circ$ ,  $R_M=1.4$ )

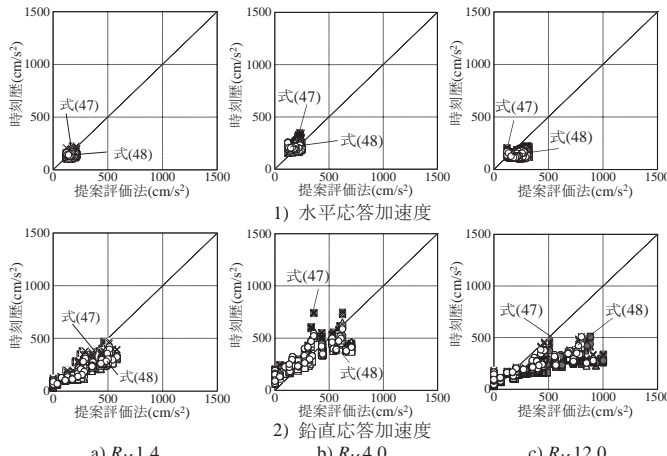


図 31 免震時における桁行方向の応答加速度( $RI40 R_{Tiso}=0.5, \beta=1.0$ )

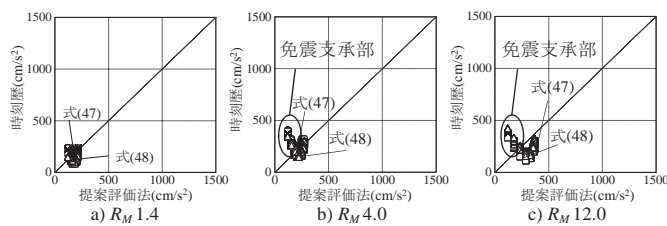


図 32 免震時における桁行方向の応答加速度( $RI40 R_{Tiso}=1.7, \beta=1.0$ )

免震支承に対応した屋根部応答評価手法の提案を行いその精度を確認した。得られた知見を以下に示す。

- 1) 既往の共振時応答増幅率近似式は、等価 2 質点系モデルを用いて説明できることが確認された。
- 2) 屋根モデルに対して、桁行方向に一定の水平加速度を与えることにより得られる変位比を用いることで桁行方向入力時の水平応答加速度を精度よく予測できることを確認した。また、応答増幅率を考慮した屋根各部の応答加速度評価式も良い対応示すことが確認された。
- 3) 免震支承を挿入した場合、円筒ラチス屋根構造に対しても既往の応答評価手法と屋根部の応答増幅率を組み合わせることで応答を適切に評価できることを確認した。2 方向入力時には FP, MSS モデルは同様の復元力特性を示し、履歴モデルによる相違はあまり見られなかった。
- 4) 支持架構付円筒ラチスシェルに対して、下部構造と屋根構造の固有周期が近接し共振する場合においても免震層を挿入することで応答が大幅に低減することが確認された。応答予測に鑑み、下部構造と免震層の固有周期比  $\beta < 5$ ,  $R_M > 1.2$  の場合でも簡便に応答評価できる評価式を提案し、 $R_M=12$ までの範囲で有効であることを確認した。

## 謝辞

本研究は平成 27 年度科学研究費補助金基盤(B)(課題番号 15H04075)の助成を受けています。

## 参考文献

- 1) T. Takeuchi, T. Ogawa, T. Kumagai: Seismic Response Evaluation of Lattice Shell Roofs using Amplification Factors, Journal of the Int. Assoc. for Shell and Spatial Structures, Vol.48(2007), No.3, pp.197-210, 2007.12
- 2) T. Takeuchi, S.D.Xue, S.Nakazawa, S.Kato: Recent Applications of Response Control Techniques to Metal Spatial Structures, Journal of the Int. Assoc. for Shell and Spatial Structures, Vol.53(2012), No.2, n.172, pp.99-110, 2012.6
- 3) 竹内徹, 小河利行, 山形智香, 熊谷知彦: 支持架構付き屋根型円筒ラチスシェルの地震応答評価, 日本建築学会構造系論文集, No.596, pp.57-64, 2005.10
- 4) 竹内徹, 小河利行, 中川美香, 熊谷知彦: 応答スペクトル法による中規模ラチスドームの地震応答評価, 日本建築学会構造系論文集, No.579, pp.71-78, 2005.10
- 5) 竹内徹, 小河利行, 熊谷知彦, 中間明子, 佐藤英佑: 支持架構付きラチスドームにおける地震応答評価手法の適用範囲, 構造工学論文集, Vol.52B, pp.53-61, 2006.3
- 6) 小河利行, 中川美香, 熊谷知彦: 応答スペクトル解析法を用いた単層ラチスドームの地震応答解析, 構造工学論文集, Vol.49B, pp.291-296, 2003.3
- 7) 竹内徹, 渡辺覚, 熊谷知彦, 小河利行: ライズの高い支持架構付き円筒ラチスシェルの地震応答評価, 日本建築学会構造系論文集, No.666, pp.1515-1522, 2011.8
- 8) 竹内徹, 熊谷知彦, 調浩朗, 小河利行: 多層架構で支持されたラチス屋根構造の地震応答評価, 日本建築学会構造系論文集, No.596, pp.49-56, 2007.9
- 9) 竹内徹, 高松謙伍, 熊谷知彦, 小河利行: 免震支承が挿入された支持架構付きラチスドームの地震応答評価, 日本建築学会構造系論文集, No.641, pp.1259-1266, 2009.7
- 10) 和田章, 木下雅彦: MSS モデルを用いた柱降伏型の建物の立体振動解析, その 1,2, 日本建築学会大会学術講演梗概集, 構造 II, pp.313-316, 1985.10
- 11) 竹内徹, 吉田道保, 内田正颯, 西雄士, 松井良太: 積載物の落下防止を目的とした立体倉庫への免震支承の適用, 日本建築学会構造系論文集, Vol.81, No.721, 2016.3
- 12) 竹内徹, 中村秀司, 内田正颯, 吉田道保, 松井良太: 偏心および浮き上がりを考慮した球面すべり支承の振動台実験, 日本建築学会構造系論文集, Vol.80 No.715, pp.1385-1392, 2015.9
- 13) 大崎順彦: 地震応答スペクトル解析入門, 鹿島出版会, 2004.6
- 14) 建設省建築研究所: 建築研究資料 第 83 号 設計用入力地震動作成手法, 1994.11
- 15) 笠井和彦, 伊藤浩資, 渡辺厚: 等価線形化手法による一質点弾塑性構造の最大応答予測法, 日本建築学会構造系論文集, No.571, pp.53-62, 2003.9
- 16) 鈴木泉, 竹内徹, 小河利行, 熊谷知彦: 桁行方向に地震動を受ける支持架構付き屋根型円筒ラチスシェルの応答評価, 日本建築学会大会学術講演梗概集, 構造 I, pp.753-754, 2006.9
- 17) 竹内徹, 熊谷知彦, 岡山俊介, 小河利行: ライズの高い支持架構付きラチスドームの地震応答評価, 日本建築学会構造系論文集 No.629, pp.11-19, 2008.7
- 18) A.K.Gupta: Response Spectrum Method, CRC Press, 1992
- 19) 国土交通省国土技術政策総合研究所: 免震建築物の技術基準解説及び計算例とその解説
- 20) 吉田道保, 熊谷知彦, 竹内徹, 小河利行: 限界変形時の割線剛性を用いた免震ラチス屋根構造の地震応答評価, 日本建築学会大会学術講演梗概集, 構造 I, pp.903-904, 2013.8

# SEISMIC RESPONSE EVALUATION OF CYLINDRICAL LATTICE SHELL ROOFS SUPPORTED BY SPHERICAL SLIDING BEARINGS

*Toru TAKEUCHI<sup>\*1</sup>, Takashi MIYAZAKI<sup>\*2</sup> and Toshiyuki OGAWA<sup>\*3</sup>*

<sup>\*1</sup> Prof., Dept. Arch. & Build. Eng., Tokyo Institute of Technology, Dr.Eng.

<sup>\*2</sup> Former Grad. Stud., Tokyo Institute of Technology, M.Eng.

<sup>\*3</sup> Prof. Emeritus, Tokyo Institute of Technology, Dr.Eng.

## 1. Introduction

To reduce the seismic response of latticed shell roofs, introducing seismic isolation bearings are known to be effective. Although easy response evaluation methods are proposed, they are limited to the condition that the elastic stiffness of isolated layer is much larger than the supporting substructure or the weight of substructure is relatively light. In this paper, easy seismic response evaluation methods for cylindrical lattice shell roofs are researched including longitudinal directions, and then those for seismically isolated roof structures are proposed including the condition that the weight of substructure is heavier. SSB (Spherical Sliding Bearings) are assumed for isolated bearings, and two different analytical models are compared for evaluating the response.

## 2. Analytical Models

The analysis models are cylindrical lattice shell roofs supported by isolation bearings assuming SSB and substructures. The span of the roof is 36m, longitudinal length is 48m, and half subtended angles of the roofs are varied as 20, 30, 40 and 60 degrees. SSB is assumed to have natural period of 4.5 sec. and friction ratio of 4.7%. Two types of analytical models as Friction Pendulum (FP) model and Multi Shear Spring (MSS) model are used for SSB.

## 3. Response evaluation of the roofs without isolation bearings

Prior to seismic response evaluation of the roofs with SSB, those of the roofs simply supported by substructures without SSB are discussed. The equivalent response acceleration formulas in span direction proposed in the past studies are reviewed and theoretically explained using double degree of freedom models. Also the response evaluation formula in longitudinal direction is also proposed, and their validities are confirmed against time-history analyses.

## 4. Response evaluation of the roofs with isolation bearings only

Next, seismic response of the roof models with SSB are studied. The proposed response evaluation formulas for the roofs with substructures are applied to them assuming the isolated layers as supporting structures. Their results are compared with those of time-history analyses with FP and MSS models. The results with FP models are close to MSS models, and validity of the proposed method is confirmed against them regardless the raise/span ratios.

## 5. Response evaluation of the roofs with isolation bearings and substructures

Finally, response of the roofs with SSB and supporting substructures are discussed. In past studies, the effects of substructures is negligible where the elastic natural period of isolated layer is 5 times larger than those of substructures, or the weight of substructure is less than 1.2 times of the roof. However, roofs supported by SSB has high elastic stiffness and the conditions above is not necessarily satisfied. To overcome this condition, amplification factor formula for evaluating the effects of both the isolated layer and substructure is proposed, and their validity is also confirmed.

## 6. Conclusions

- 1) The proposed response evaluation formulas of cylindrical lattice shell with substructures in span directions in past studies are well explained by theoretical studies with double degree of freedom model. Also those in longitudinal directions are proposed using similar approach, and their validities are confirmed against time-history analyses.
- 2) The proposed response evaluation formulas for the roofs with SSBs are compared with those of time-history analyses with FP and MSS models. The results with FP models and MSS models are close each other, and validity of the proposed method is confirmed against them regardless the raise/span ratios.
- 3) The response evaluation formulas for the roofs with both SSB and substructure are proposed, and their validities are confirmed even where the roofs whose substructures are heavy and the natural periods of the isolated layers are close to those of substructures.

(2016年2月18日原稿受理、2016年6月29日採用決定)